白及多糖对巨噬细胞 M1 型极化的调节作用及机制研究

冯永波¹, 高 景², 周忠海³, 高玉华⁴, 范 益^{2*}

- 1. 南京市高淳中医院 脾胃科, 江苏 南京 211300
- 2. 南京医科大学基础医学院 药理学系, 江苏 南京 211166
- 3. 中国人民解放军陆军第七十一集团军医院, 江苏 徐州 211000
- 4. 南京市高淳人民医院, 江苏 南京 211300

摘 要:目的 探讨白及多糖(BSP)对巨噬细胞 M1 型极化过程的调节作用及其潜在机制。方法 诱导 THP-1 细胞分化为 M0 或 M1 型巨噬细胞,并给予不同质量浓度(0.001、0.010、0.100、1.000、10.000 $\mu g \cdot m L^{-1}$)的 BSP 处理,观察细胞贴壁程度及形态,通过 CCK-8 法检测 BSP 对细胞活力的影响。选择合适的剂量后,运用实时荧光定量 PCR(qRT-PCR)技术分析 BSP 对 M1 型巨噬细胞标记基因 [白细胞介素(IL) - $I\beta$ 、IL-6、肿瘤坏死因子- α ($TNF-\alpha$)、诱导型一氧化氮合酶(iNOS)] 和 M2 型巨噬细胞标记基因 (IL-I0、CD206)表达的影响;通过酶联免疫吸附实验检测 BSP 对上清液中 IL- $I\beta$ 、IL-6和 TNF- α 释放的影响;通过 Western blotting 法检测 BSP 对核因子- κ B(NF- κ B)和信号转导子和转录激活子(STAT1)信号通路相关蛋白表达的影响。结果 BSP 在 $0.001\sim10.000~\mu g \cdot m L^{-1}$ 对 M0 和 M1 型巨噬细胞没有明显毒性。BSP 显著抑制 M1 型巨噬细胞 IL- $I\beta$ 、IL-6、 $TNF-\alpha$ 和 iNOS 的 mRNA 表达水平(P<0.05、0.01、0.001),并显著降低 IL- $I\beta$ 、IL-6和 TNF- α 的释放(P<0.01、0.001),显著抑制 IL- $I\beta$ 、D0.001,如型巨噬细胞而足显著影响。结论 BSP 能够有效抑制 M0 型巨噬细胞向 M1 极化的转变,其机制主要通过抑制 NF- κ B 和 STAT1 信号通路的活化实现。

关键词: 白及多糖; THP-1细胞; 巨噬细胞M1极化; 抗炎活性; NF-κB; STAT1

中图分类号: R285.5 文献标志码: A 文章编号: 1674-6376 (2024) 11-2525-08

DOI: 10.7501/j.issn.1674-6376.2024.11.008

Effect and mechanism of *Bletilla striata* polysaccharide on M1 polarization of macrophages

FENG Yongbo¹, GAO Jing², ZHOU Zhonghai³, GAO Yuhua⁴, FAN Yi²

- 1. Department of Spleen and Stomach, Nanjing Gaochun Hospital of Traditional Chinese Medicine, Nanjing 211300, China
- 2. Department of Pharmacology, School of Basic Medical Sciences, Nanjing Medical University, Nanjing 211166, China
- 3. The 71st Group Military Hospital of the Chinese People's Liberation Army, Xuzhou 211000, China
- 4. Nanjing Gaochun People's Hoopital, Nanjing 211300, China

Abstract: Objective To investigate the effect of *Bletilla striata* polysaccharide (BSP) on the polarization process of M1 macrophages and its potential mechanisms. **Methods** THP-1 cells were induced to differentiate into M0 or M1 macrophages and treated with different concentrations (0.001, 0.010, 0.100, 1.000, and 10.000 μg·mL⁻¹) of BSP. The CCK-8 assay was employed to assess cell adhesion and viability following BSP treatment. After selecting an appropriate dose, real-time fluorescence quantitative PCR (qRT-PCR) was used to analyze the expression of M1 macrophage marker genes [Interleukin (*IL*)-*1β*, *IL*-6, tumor necrosis factor-α (*TNF*-α), inducible nitric oxide synthase (*iNOS*)] and M2 macrophage marker genes (*IL*-10, *CD206*). The release of inflammatory cytokines IL-1β, IL-6, and TNF-α in the supernatant was measured using an enzyme-linked immunosorbent assay, and Western blotting analysis was performed to investigate the effect of BSP on Nuclear factor kappa B (NF-κB) and signal transducer and activator of transcription 1 (STAT1) signaling pathways. **Results** BSP exhibited no significant toxicity to M0 and M1 macrophages within the tested concentration range. BSP significantly downregulated the mRNA expression of M1 macrophage

收稿日期: 2024-07-16

基金项目: 南京市卫生科技发展专项资金项目(YKK21203)

第一作者: 冯永波(1973一),男,硕士,主任医师,研究方向为消化道肿瘤的诊疗。E-mail:854059272@qq.com

^{*}通信作者: 范 益,博士,教授,主要从事药理学研究。E-mail:yfan@njmu.edu.cn

markers (IL- $I\beta$, IL-6, TNF- α , and iNOS) and reduced the secretion of these inflammatory cytokines (P < 0.05, 0.01, and 0.001). Furthermore, BSP inhibited the protein expression of IL- $I\beta$ and phosphorylation of p65 and STAT1 proteins. BSP had no significant effect on M0 macrophages. **Conclusion** BSP effectively suppresses the transformation of M0 macrophages into the M1 phenotype, primarily through the inhibition of NF- κ B and STAT1 signaling pathways.

Key words: Bletilla striata polysaccharide; THP-1 cells; M1 macrophage polarization; anti-inflammatory activity, NF-κΒ; STAT1

白及 Bletilla striata (Thunb.) Reichb.f.作为一种 具有显著收敛止血、消肿生肌等功效的兰科植物, 在中药领域的药用价值备受瞩目^[1-4]。白及多 糖(BSP)是其主要药用成分,不仅具有抗炎、抗氧 化、抗纤维化等生物学功能,还表现出赋形剂的特性,如生物黏附性、生物降解性、生物安全性等。这 些特性使 BSP 在药物制剂中具有广泛应用,尤其在 开发创新性免疫调节药物方面,展现了重要的实际 应用价值^[5-7]。研究表明,BSP能够激活巨噬细胞等 免疫细胞,促进其增殖和分化,从而增强机体的免 疫应答能力,有效抵御各类病原体和疾病的侵 袭^[8-9]。此外,BSP还具有抗炎特性,能够抑制炎症 因子的产生和释放,减轻炎症损伤,促进愈合,为炎 症相关疾病的治疗提供了新的策略^[8,10-11]。

巨噬细胞是免疫系统的核心成分,其极化状态在疾病的发生与发展中起着关键作用[12-13]。巨噬细胞可响应外界信号转化为促炎型(M1)或抗炎型(M2),这一转化机制对疾病防控和治疗至关重要[14-15]。在脊髓损伤中,M2型巨噬细胞的极化受阻,导致 M1型巨噬细胞持续主导,引发慢性炎症[16]。在矽肺早期,M1型巨噬细胞发挥促炎作用,释放炎症因子;在纤维化阶段,M2型巨噬细胞则促进炎症消退和组织修复[17]。在肿瘤微环境中,肿瘤相关巨噬细胞(TAMs)的极化状态直接影响肿瘤的生长、侵袭和转移[18]。因此,深入探索调控巨噬细胞极化的药物或物质,对于开发创新性的免疫调节药物具有重要意义。

本研究旨在探究BSP在巨噬细胞极化过程中的调控作用及其机制。使用不同浓度的BSP处理THP-1源性巨噬细胞,检测处理后细胞标记的表达变化、细胞因子的释放情况及信号转导通路的磷酸化水平。通过一系列实验,深入研究BSP对THP-1源性巨噬细胞极化的影响,为开发新型免疫刺激剂提供参考。

1 材料

1.1 主要仪器

CelMate 二氧化碳培养箱(上海益世科生物有限公司); QuantStudio® 5 实时荧光定量 PCR 仪、

Nanodrop2000 分光光度计,均购自赛默飞世尔科技(中国)有限公司;ERS300 电泳系统、Tanon 5200全自动化学发光成像系统(上海天能生命科学有限公司);Milli-Q® Advantage 超纯水系统(美国MerckMillipore Inc.);冷冻高速离心机(艾本德国际贸易有限公司);相差显微镜(徕卡显微系统贸易有限公司);Biotek 酶标仪(美国 BioTek Instruments,Inc.)。

1.2 细胞

人 髓 系 白 血 病 单 核 细 胞 THP-1 (编 码 BFN60700157)购自上海中国科学院细胞库。

1.3 主要试剂

白及多糖(质量分数≥95%,货号TDT003)购自 上海融禾医药科技发展有限公司;胎牛血清(FBS, 货号 TM999-500, 批号 0024731) 购自加拿大 Applied Biological Materials Inc.; RPMI-1640 完全培 养基(货号11875093)和青霉素-链霉素双抗溶液(货 号 15140122) 购自赛默飞世尔科技(中国)有限公 司; 佛波酯(PMA, 货号P1595)、脂多糖(LPS, 货号 L4516)和 y 干扰素(IFN-y, 货号 I17001)购自西格玛 奥德里奇(上海)贸易有限公司;TRIzol(货号9108) 购自日本 Takara Bio Inc.; CCK-8 试剂盒(货号 A311)、逆转录试剂盒(货号R412)和SYBR Green 荧光染料实时荧光定量聚合酶链反应(qRT-PCR)试 剂盒(货号Q712)购自南京诺唯赞生物科技股份有 限公司; CD11b(货号 HQP155825)、白细胞介 素(IL)-1β(货号 HQP009641)、IL-6(货号 HQP127383)、肿瘤坏死因子-α(TNF-α,货号 HQP162162)、诱导型一氧化氮合酶(iNOS,货号 HQP175346)、IL-10(货号HQP101055)、CD206(货 号 HQP157134)和 GAPDH(货号 HQP006940)等引 物购自美国 GeneCopoeia Inc.; IL-1β(货号 CSB-E08053h)、IL-6(货号CSB-E04638h)和TNF-α(货号 CSB-E04740h)酶联免疫吸附试验(ELISA)盒购自 武汉华美生物工程有限公司;IL-1β(货号12242)、p-信号转导子和转录激活子1(STAT1,货号9167)、 STAT1(货号14994)、p-p65(货号3033)和p65(货号 8242) 等抗体购自美国 Cell Signaling Technology Inc.; β -actin(货号 YFMA0052)购自南京翼飞雪生物科技有限公司。

2 方法

2.1 细胞培养与诱导极化

THP-1细胞在含10% FBS和1%青霉素-链霉素的 RPMI-1640 完全培养基中,以4~5 mL的悬液接种于T25培养瓶中,并在37℃、含5% CO₂的恒温恒湿培养箱中培养。培养过程中,每2~3天进行半量换液操作,以保持细胞生长环境的稳定;每7天通过低速离心进行完全换液,以确保细胞能够获得充足的营养物质。细胞密度维持在1×10°个·mL⁻¹,且实验中所使用的细胞代数严格控制在20代以内,以确保细胞的稳定性和实验结果的可靠性。

在诱导极化过程中,细胞先以5×10°个·mL⁻¹的密度接种于6孔板中,随后用100 ng·mL⁻¹的PMA刺激36h,以诱导其分化为巨噬细胞^[18]。接着,去除PMA并用不含PMA的RPMI-1640完全培养基替换,继续培养24h,使细胞转化为M0型巨噬细胞。随后,进一步使用1μg·mL⁻¹的LPS和10 ng·mL⁻¹的IFN-γ对细胞进行24h的孵育,以促使M0型巨噬细胞向M1型巨噬细胞极化过程。

2.2 细胞活力观察

评估 BSP 对 M0 型和 M1 型巨噬细胞活力的影响。诱导结束后,细胞以 5×10³个·mL⁻¹接种于 96 孔板,接种后 24 h 给药。采用不同质量浓度的BSP(0.001、0.010、0.100、1.000、10.000 μg·mL⁻¹)分别处理 2 种类型的巨噬细胞,对照组仅给予等量的磷酸盐缓冲溶液(PBS)处理。在继续培养 24 h后,各孔的培养基被替换为含有 10% CCK-8 的完全培养基,随后将培养板置于培养箱中孵育 1.5 h。通过酶标仪检测 450 nm 波长下的吸光度(A)值,计算细胞存活率。

细胞存活率= $(A_{\text{sph}} - A_{\text{sph}})/(A_{\text{MM}} - A_{\text{sph}})$

2.3 细胞形态学观察

细胞培养及接种方法同"2.1"项,设置 M0组、M0+BSP(10.000 μ g·mL⁻¹)组、M1 组、M1+BSP(0.001、0.010、0.100、1.000、10.000 μ g·mL⁻¹)组,其中 M1+BSP 组于 M0型巨噬细胞向 M1 极化前1 h给药,M0组、M1组仅给予等量的 PBS。给药后孵育 24 h,利用相差显微镜(10×)观察各组细胞的形态,并记录典型的细胞形态图像。

2.4 M1和M2极化标志物mRNA水平改变

细胞培养及接种方法同"2.1"项,组别设置及给

药方法同"2.3"项,孵育 24 h 后,收集各组细胞,并采用 TRIzol法提取细胞总 RNA。提取的 RNA 随后使用逆转录试剂盒进行逆转录,将 1 μg RNA 转化为cDNA。接着,使用 SYBR Green qRT-PCR 试剂盒进行 qRT-PCR 反应。在反应中,使用商品化引物对M1型极化标志物(IL-1β、IL-6、TNF-α、iNOS)和 M2型极化标志物(IL-10和 CD206)进行扩增,每个样本设置 3 个复孔,并重复实验 3 次,以确保结果的准确性和可靠性。最后,通过 2-ΔΔCt 法计算各基因的相对表达量,以量化 BSP 对巨噬细胞极化过程中关键基因表达的影响。

2.5 M1型巨噬细胞细胞因子的分泌

细胞培养及接种方法同"2.1"项,设置 M0 组、M0+BSP(1 $\mu g \cdot m L^{-1}$)组、M1 组、M1+BSP(1 $\mu g \cdot m L^{-1}$)组,给药方法同"2.3"项,孵育 24 h后,用 PBS 对细胞进行 2 次洗涤,以去除残留的培养基和未附着的细胞。随后,根据 ELISA 试剂盒的说明书,测定细胞上清液中炎症相关细胞因子 IL-1 β 、IL-6和 TNF- α 的表达水平。

2.6 极化相关信号通路的观察

细胞培养及接种方法、给药处理操作同"2.5" 项。收集上述各组巨噬细胞,用PBS洗涤 2次,随后加入含有磷酸酶抑制剂和蛋白酶抑制剂的裂解液,在冰上裂解细胞并收集蛋白。通过十二烷基硫酸钠-聚丙烯酰胺凝胶电泳(SDS-PAGE)分离蛋白,并将其转移至聚偏氟乙烯(PVDF)膜上。膜在5%脱脂牛奶中封闭1h后,与针对IL-1β、p-STAT1、STAT1、p-p65、p65和β-actin的一抗及相应的二抗进行孵育。每一步孵育之间,使用含有聚山梨酯20的Tris缓冲盐溶液(TBST)对膜进行3次洗涤,每次洗涤时间为10min,以确保去除非特异性结合。最后,使用Tanon5200化学发光仪显影,并用Image J软件分析蛋白条带的灰度值。在数据分析过程中,以β-actin作为内参,对目的蛋白的灰度值进行半定量处理。

2.7 统计学分析

数据分析采用 GraphPad Prism 9.3 统计学软件。使用 Shapiro-Wilk 法进行正态分布检验,对于符合正态分布的计量资料,以 $\bar{x}\pm s$ 表示;采用 Student t 检验。

3 结果

3.1 BSP对M0和M1型巨噬细胞存活率的影响

如表 1 所示,在 BSP 质量浓度为 0.001、0.010、0.100、1.000、10.000 $\mu g \cdot m L^{-1}$ 的作用下,M0 型和M1型巨噬细胞的细胞活力与对照组相比均未

表 1 BSP对 M0和 M1型巨噬细胞存活率的影响(x±s,n=4)
Table 1 Effect of BSP on survival rate of M0 and M1
macrophages (x±s,n=4)

. 3			
组别	质量浓度/	细胞存活率/%	
	$(\mu g{\cdot}mL^{-1})$	M0型巨噬细胞	M1型巨噬细胞
对照	_	100.0 ± 12.7	100.0 ± 6.7
BSP	0.001	100.5 ± 12.3	98.0 ± 5.7
	0.010	103.5 ± 9.8	103.5 ± 7.3
	0.100	104.2 ± 8.5	110.4±6.7
	1.000	103.1 ± 6.1	118.2±7.5
	10.000	105.2 ± 10.7	95.5±4.7

表现出显著统计学差异。结果表明,0.001~10.000 μg·mL⁻¹ BSP 对由 THP-1 细胞诱导分化的 M0型或 M1型巨噬细胞未产生明显的毒性作用,显示其具有较高的生物安全性。因此,在后续的研究中,该浓度范围内的 BSP 可用于进一步探讨其对 M1型极化调节的影响。

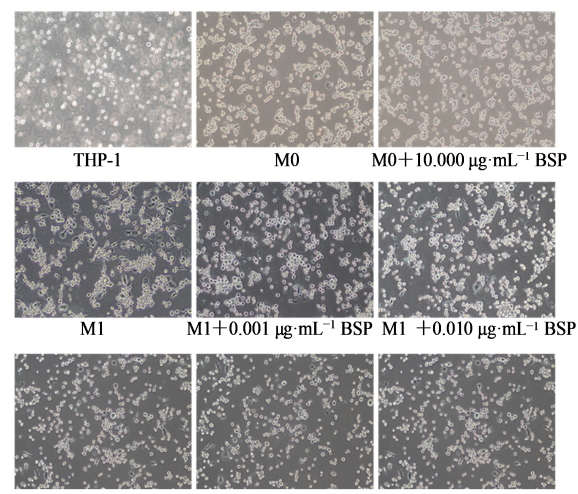
3.2 BSP对M0、M1型巨噬细胞形态的影响

如图1所示,THP-1细胞在PMA诱导后由悬浮生长转变为M0型巨噬细胞,并附着于培养基表面,其形态由圆形变为不规则,细胞体积显著增大。使用10.000 μg·mL⁻¹BSP处理后,M0型巨噬细胞的形态未见显著变化。随后,经LPS和IFN-γ处理后,M0型巨噬细胞的形态进一步变得更加不规则,伪足显著增多且分叉明显,表明细胞已成功极化为M1型巨噬细胞。在此基础上,预处理不同质量浓度的BSP显示出显著的调节效果:与未处理的M1型巨噬细胞相比,BSP处理明显减少了伪足数量,使细胞形态趋于规则,尤其在0.100、1.000和10.000 μg·mL⁻¹质量浓度下表现尤为显著。

3.3 BSP对 M1型巨噬细胞标志基因表达的影响

如图 2 所示,10 μg·mL⁻¹ BSP 处理对 M0 型巨噬细胞的 M1 标记基因(IL- $I\beta$ 、IL-6、TNF- α 和 iNOS) 及 M2 标记基因(IL-I0 和 CD206)的表达均未产生显著影响,表明 BSP 本身不具备诱导 M0 型巨噬细胞极化的能力。然而,在 LPS 和 IFN- γ 处理后,与 M0 组比较,M1 组 IL- $I\beta$ 、IL-6、TNF- α 和 iNOS 的 mRNA 表达水平均显著上升(P<0.01、0.001),而 CD206 的mRNA 表达则显著下降(P<0.05)。尽管 IL-10 的表达呈上升趋势,但其变化并未达到统计学显著性。这些结果表明,M0 型巨噬细胞在 LPS 和 IFN- γ 的诱导下成功转化为 M1 型巨噬细胞。

进一步分析显示,与M1组相比,0.010、0.100、1.000、10.000 $\mu g \cdot mL^{-1}$ BSP 处理均显著降低 $IL-1\beta$ 、



 $M1 + 0.100~\mu g \cdot mL^{-1}~BSP \quad M1 + 1.000~\mu g \cdot mL^{-1}~BSP \quad M1 + 10.000~\mu g \cdot mL^{-1}~BSP$

图1 BSP对M0、M1型巨噬细胞细胞形态的影响(×10)

Fig. 1 Effect of BSP on cell morphology of M0 and M1 type macrophages (×10)

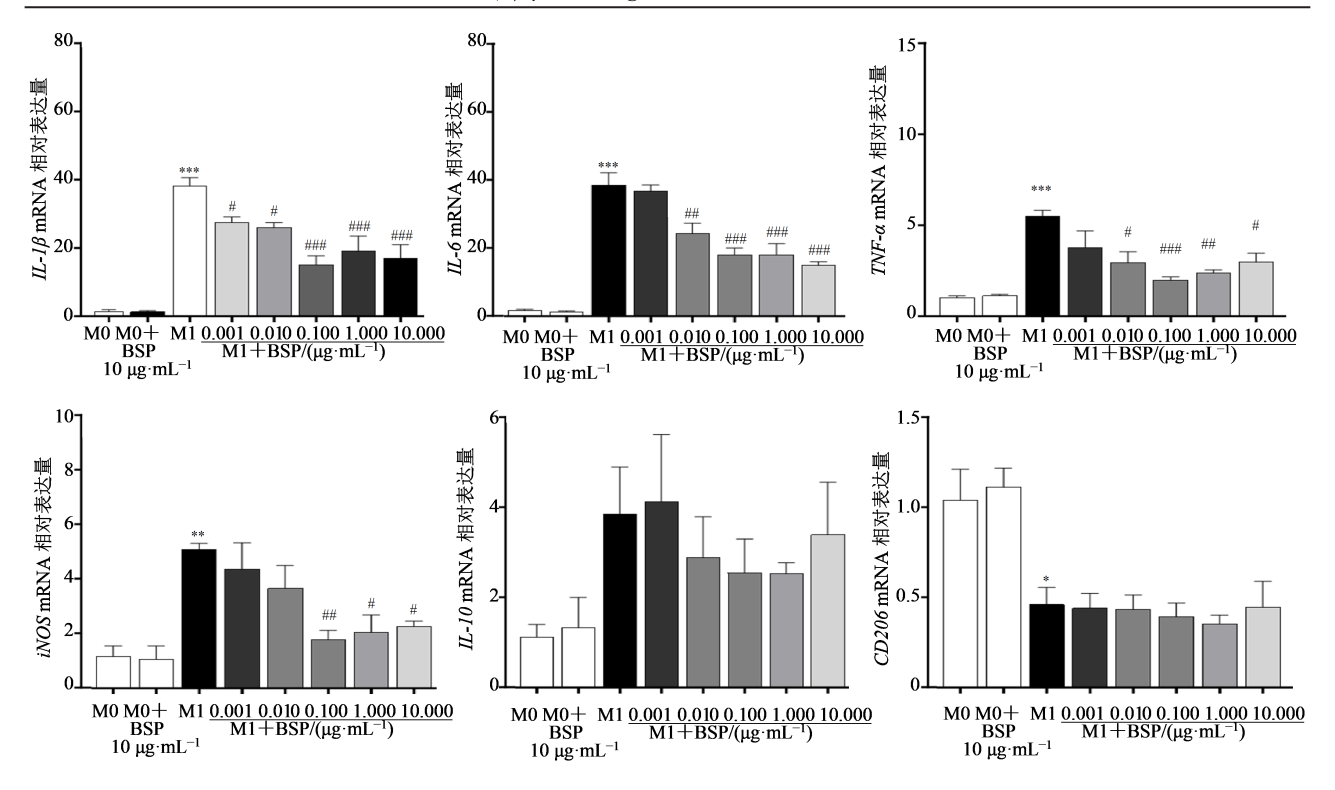
IL-6 和 $TNF-\alpha$ 的 mRNA 表达水平 (P<0.05、0.01、0.001); 此外,0.100、1.000、10.000 μg·mL⁻¹ BSP 处理 也显著降低 iNOS 的 mRNA 表达水平 (P<0.05、0.01)。 然而,各浓度的 BSP 对 IL-10、CD206 的 mRNA 表达未产生显著影响。结果表明,BSP 能够有效抑制 M0型巨噬细胞向 M1型的极化过程,并且这种抑制效果随着 BSP 浓度的升高而增强。选择 1 μg·mL⁻¹质量浓度进行后续研究。

3.4 BSP 对上清液中 IL-1β、IL-6 和 TNF-α 释放水 平的影响

为了深入研究 BSP 对 M1 型巨噬细胞功能的影响,进一步探讨了 $1 \mu g \cdot m L^{-1}$ BSP 对巨噬细胞促炎因子释放的调控作用。如图 3 所示,与 M0 组比较,在 LPS 和 IFN- γ 的诱导下,M1 巨噬细胞中 IL- 1β 、IL-6 和 TNF- α 的释放显著增加 (P < 0.001),这与 M1 型巨噬细胞典型的促炎特性相一致。在加入 $1 \mu g \cdot m L^{-1}$ BSP 处理后,与 M1 组相比,IL- 1β 、IL-6 和 TNF- α 的释放水平显著降低 (P < 0.01、0.001),表明 BSP 能够有效降低 M1 型巨噬细胞的促炎活性。值得注意的是,在未经刺激的 M0 型巨噬细胞中,BSP 对促炎因子的释放水平没有显著影响。结果进一步证实了 BSP 对 M1 型巨噬细胞具有选择性的抑制作用。

3.5 BSP 对巨噬细胞 NF-κB 和 STAT1 信号通路的 影响

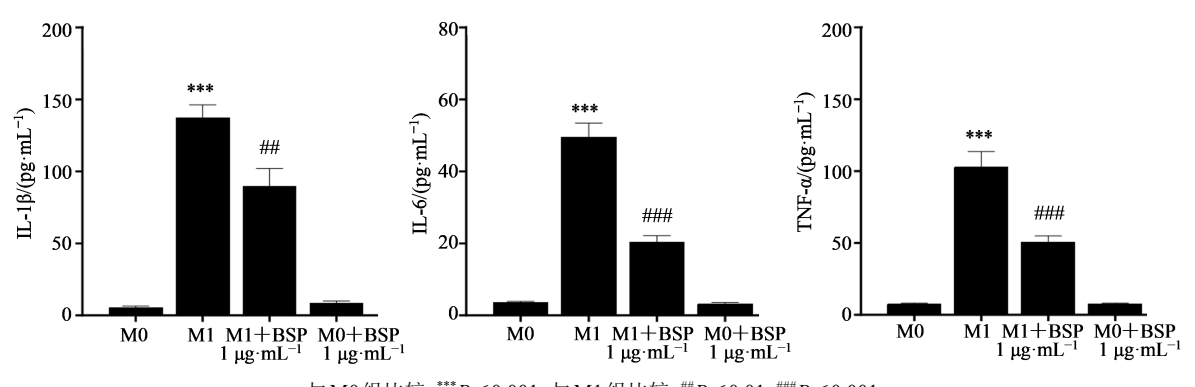
为了探索 BSP 抑制 M1 型巨噬细胞极化的潜在机制,进一步研究了 1 $\mu g \cdot m L^{-1}$ BSP 对 NF- κB 和 STAT1 信号通路的影响。如图 4 所示,与 M0 组比较,在 LPS 和 IFN- γ 的刺激下,巨噬细胞内 IL-1 β 的



与 M0组比较:**P<0.01 ***P<0.001;与 M1组比较:*P<0.05 ***P<0.01 ***P<0.01 vs M0 group; **P<0.05 ***P<0.01 ****P<0.001 vs M1 group.

图 2 BSP对 M0、M1型巨噬细胞标志基因表达的影响($\bar{x}\pm s$, n=4)

Fig. 2 Effect of BSP on expression of marker genes in M0 and M1 macrophages ($\bar{x}\pm s$, n=4)



与M0组比较:***P<0.001;与M1组比较:***P<0.01 ****P<0.001。
****P<0.001 vs M0 group; ***P<0.01 ****P<0.001 vs M1 group.

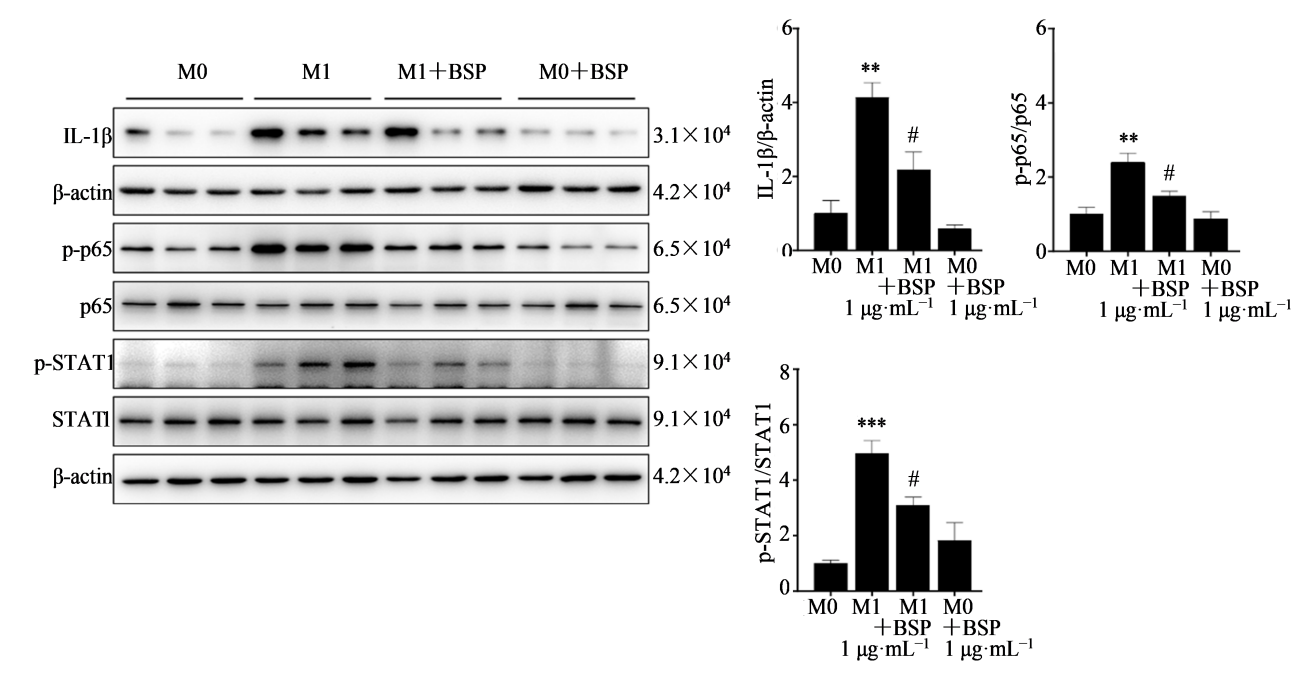
图3 BSP对上清中IL-1 β 、IL-6和TNF- α 释放水平的影响($\bar{x}\pm s$,n=6)

Fig. 3 Effect of BSP on release levels of IL-1 β , IL-6, and TNF- α in supernatants ($\bar{x}\pm s$, n=6)

表达水平显著上升(P<0.01),同时观察到 NF-κB的 p65 亚基和 STAT1 的磷酸化水平显著增高(P<0.001)。与M1组比较,1 μg·mL⁻¹ BSP 显著抑制了细胞内 IL-1β的蛋白表达水平(P<0.05),并有效降低了 p65 和 STAT1 的磷酸化水平(P<0.05)。此外,1 μg·mL⁻¹ BSP 对未受刺激的 M0 型巨噬细胞内 IL-1β、p-p65 和 p-STAT1 的表达没有显著影响。结果表明,BSP主要通过调控 NF-κB 和 STAT1 信号通路抑制巨噬细胞向 M1 型的极化过程。

4 讨论

本研究在体外条件下深入探讨了BSP对巨噬细胞 M1 极化过程的调控作用。实验数据显示,在0.001~10.000 μg·mL⁻¹的质量浓度范围内,BSP对 M0 和 M1 型巨噬细胞均未显示明显的细胞毒性。进一步分析显示,BSP显著抑制了 M0 型巨噬细胞向 M1 型的极化,并有效降低了 M1 型巨噬细胞的促炎活性。这一调控作用主要通过影响 NF-κB 和 STAT1信号通路的活化来实现。



与 M0 组比较: **P<0.01 ***P<0.001; 与 M1 组比较: *P<0.05。 **P<0.0 ***P<0.001 vs M0 group; *P<0.05 vs M1 group.

图 4 BSP对巨噬细胞内 NF- κ B和 STAT1信号通路的影响($\bar{x}\pm s, n=3$)

Fig. 4 Effect of BSP on NF- κ B and STAT1 signaling pathways in macrophages ($\bar{x}\pm s$, n=3)

既往研究表明,BSP具有免疫刺激和抗炎的双 重效应。BSP独特的葡甘聚糖结构使其能够深度参 与细胞内外的信号传递,从而显著增强免疫活性。 体内实验数据证实,BSP提升胸腺和脾脏指数,展现 了其显著的免疫调节功能[19]。这一效应主要归因 于BSP对免疫细胞的直接刺激[20-21]。此外,BSP还 能够有效提高机体免疫器官的功能指数,增加血清 中免疫球蛋白、TNF-α、IL-4等物质的含量,激活巨 噬细胞的吞噬能力,并诱导其分泌细胞因子[9]。 BSP 通过特定的信号通路调控机制,有效减轻炎症 反应。例如,在溃疡性结肠炎大鼠模型中,BSP显著 降低了血清中 IL-1 β 和 TNF- α 的水平,并促进抑炎 因子IL-10的表达,从而保护结肠组织免受损伤[22]。 在硫代乙酰胺诱导的肝硬化大鼠模型中,BSP通过 抑制炎症因子的表达和内毒素水平,有效修复和保 护肠上皮屏障[23]。体外实验同样显示,BSP以剂量 相关的方式,通过NOX4和TLR2途径抑制人肾小 球系膜细胞中活性氧的产生及炎症因子的表达[24]。

在本研究中,BSP显著抑制了 IL-1β、IL-6、TNF-α和iNOS等促炎因子的表达,但尚未观察到其对IL-10和CD206抑炎因子的影响。这一发现可能与实验条件有关,本研究主要采用 LPS和IFN-γ诱导M1型巨噬细胞。后续研究需要利用 IL-4和IL-13诱导M2型巨噬细胞,以更全面地评估BSP对

这些抗炎因子的作用。

值得注意的是,BSP主要对M1型巨噬细胞极化产生抑制作用,而对M0型巨噬细胞则无显著影响。M0型巨噬细胞在未激活状态下负责免疫反应中的巡逻与监视,参与初级防御机制。相反,M1型巨噬细胞通常通过与炎症因子如IFN-γ和LPS的相互作用被激活,主要分泌促炎细胞因子,如TNF-α、IL-1β和IL-6等。这些因子在炎症初期发挥关键作用,有助于病原体的清除和其他免疫细胞的激活,但在疾病后期可能引发过度的炎症反应,造成损伤。例如,在自身免疫性疾病或慢性炎症性疾病中,M1型巨噬细胞可能过度活化,导致组织损伤[15]。因此,BSP对M1型巨噬细胞的选择性作用有助于减少对正常免疫监视的干扰,同时针对病理性炎症的M1型巨噬细胞进行治疗,从而控制疾病进程而不损害整体免疫功能。

NF-κB信号通路在M1型巨噬细胞活化过程中占据核心地位,响应多种外界刺激,如促炎因子、自由基、紫外线辐射以及细菌和病毒感染。这些刺激激活NF-κB,推动巨噬细胞向M1表型分化,并分泌促炎因子,如TNF-α、IL-12和IL-23^[25]。尽管已有研究指出BSP能激活NF-κB信号通路以产生免疫增强效应^[9],但本研究发现BSP能抑制p65的磷酸化,从而调控炎症反应。因此,需要进一步深入研究

BSP在NF-кB信号通路中的复杂作用。

此外,STAT1作为IFN-γ信号通路的关键分子,在M1型巨噬细胞极化过程中也发挥重要作用^[26]。 当IFN-γ与相应受体结合时,JAK1和JAK2被激活,进而促使 STAT1活化。这一过程有助于促进相关基因的表达,从而增强巨噬细胞在炎症反应和抗病原体防御中的功能。本研究发现,BSP能通过某种机制抑制 STAT1的磷酸化,从而调控M1极化过程。尽管 BSP的精确调控机制尚待阐明,但这一发现为理解其抗炎作用提供了新的视角。

本研究为新型抗炎药物的研发提供了BSP作为潜在抗炎药物的初步证据,并指明了其在抗炎活性方面的潜在应用。未来的研究将引入新的实验技术或方法,例如高通量筛选、流式细胞分析和实时动态监测,以进一步探讨BSP在不同免疫环境下的作用机制,并评估其在临床应用中的实际效果。

利益冲突 所有作者均声明不存在利益冲突

参考文献

- [1] He X R, Wang X X, Fang J C, et al. *Bletilla striata*: Medicinal uses, phytochemistry and pharmacological activities [J]. J Ethnopharmacol, 2017, 195: 20-38.
- [2] Bai L, Wang T, Deng Q C, et al. Dual properties of pharmacological activities and preparation excipient: *Bletilla striata* polysaccharides [J]. Int J Biol Macromol, 2024, 254(Pt 1): 127643.
- [3] 王坤堂,王逸伦,崔元璐,等.白及多糖药理作用及在中药现代制剂领域的研究进展 [J].中成药, 2023, 45(7): 2281-2287.
 - Wang K T, Wang Y L, Cui Y L, et al. Pharmacological effects of *Bletilla striata* polysaccharide and research progress in the field of modern Chinese medicine preparations [J]. Chin Tradit Pat Med, 2023, 45(7): 2281-2287.
- [4] 黎晓星, 杨莹, 李群, 等. 白及主要有效成分特征及其影响因素研究进展 [J]. 中草药, 2024, 55(8): 2820-2827. Li X X, Yang Y, Li Q, et al. Research progress on characteristics and influencing factors of main active ingredients in Bletillae Rhizoma [J]. Chin Tradit Herb Drugs, 2024, 55(8): 2820-2827.
- [5] Gou K J, Li Y, Qu Y, et al. Advances and prospects of Bletilla striata polysaccharide as promising multifunctional biomedical materials [J]. Mater Des, 2022, 223: 111198.
- [6] He X M, Liu L Y, Gu F L, et al. Exploration of the antiinflammatory, analgesic, and wound healing activities of *Bletilla striata* polysaccharide [J]. Int J Biol Macromol,

- 2024, 261(Pt 2): 129874.
- [7] 葛雯, 陈宏降, 罗益远, 等. 白及多糖的研究进展 [J]. 人参研究, 2021, 33(3): 55-59. Ge W, Chen H J, Luo Y Y, et al. Research progress on *Bletilla striata* polysaccharides [J]. Ginseng Res, 2021, 33 (3): 55-59.
- [8] Qiu M Y, Zhong G F, Zhang J B, et al. Biocompatible and biodegradable *Bletilla striata* polysaccharides hydrogels crosslinked by BDDE for wound healing through the regulating of macrophage polarization [J]. Int J Biol Macromol, 2024, 254(Pt 3): 128015.
- [9] Niu X F, Yu J B, Huang Q X, et al. Immunoenhancement activity of *Bletilla striata* polysaccharide through MAPK and NF-κB signalling pathways *in vivo* and *in vitro* [J]. Autoimmunity, 2022, 55(8): 650-660.
- [10] Chen Z Y, Cheng L Z, He Y C, et al. Extraction, characterization, utilization as wound dressing and drug delivery of *Bletilla striata* polysaccharide: A review [J]. Int J Biol Macromol, 2018, 120(Pt B): 2076-2085.
- [11] Zhao Y, Wang Q B, Yan S, et al. Bletilla striata polysaccharide promotes diabetic wound healing through inhibition of the NLRP3 inflammasome [J]. Front Pharmacol, 2021, 12: 659215.
- [12] Wynn T A, Vannella K M. Macrophages in tissue repair, regeneration, and fibrosis [J]. Immunity, 2016, 44(3): 450-462
- [13] Lazarov T, Juarez-Carreño S, Cox N, et al. Physiology and diseases of tissue-resident macrophages [J]. Nature, 2023, 618(7966): 698-707.
- [14] Orecchioni M, Ghosheh Y, Pramod A B, et al. Macrophage polarization: Different gene signatures in M1 (LPS⁺) vs. classically and M2 (LPS⁻) vs alternatively activated macrophages [J]. Front Immunol, 2019, 10: 1084.
- [15] Locati M, Curtale G, Mantovani A. Diversity, mechanisms, and significance of macrophage plasticity [J]. Annu Rev Pathol, 2020, 15: 123-147.
- [16] 杨真吾,彭颖,林浩东.脊髓损伤后巨噬细胞脂代谢与炎症表型关系研究进展[J].中国骨与关节杂志,2024,13(4):290-298.
 - Yang Z W, Peng Y, Lin H D. Research progress on the relationship between macrophage lipid metabolism and inflammation phenotype after spinal cord injury [J]. Chin J Bone Jt, 2024, 13(4): 290-298.
- [17] 吕碧君, 李蕾, 王月, 等. 巨噬细胞极化在肺纤维化中的作用及研究进展 [J]. 中国医药科学, 2023, 13(15): 24-27.
 - Lv B J, Li L, Wang Y, et al. The role and research progress of macrophage polarization in pulmonary

- fibrosis [J]. China Med Pharm, 2023, 13(15): 24-27.
- [18] Goossens P, Rodriguez-Vita J, Etzerodt A, et al. Membrane cholesterol efflux drives tumor-associated macrophage reprogramming and tumor progression [J]. Cell Metab, 2019, 29(6): 1376-1389.e4.
- [19] Wang Y, Han S, Li R, et al. Structural characterization and immunological activity of polysaccharides from the tuber of *Bletilla striata* [J]. Int J Biolog Macromol, 2019, 122: 628-635.
- [20] Peng Q, Li M, Xue F, et al. Structure and immunobiological activity of a new polysaccharide from *Bletilla striata* [J]. Carboh Pol, 2014, 107: 119-123.
- [21] Niu J, Wang S, Wang B, et al. Structure and anti-tumor activity of a polysaccharide from *Bletilla ochracea Schltr* [J]. Int J Biol Macromol, 2020, 154: 1548-1555.
- [22] 黎笑兰, 张新广, 尹少萍. 白及多糖抑制溃疡性结肠炎大鼠炎性反应与氧化应激 [J]. 基础医学与临床, 2020, 40(2): 224-228.

- LiX L, Zhang X G, Yin S P. Polysaccharides of *Radix Bletillae* inhibit inflammatory reaction and oxidative stress in rats with ulcerative colitis [J]. Basic Clinl Med, 2020, 40(2): 224-228.
- [23] Luo L, Zhou Z, Xue J, et al. Bletilla striata polysaccharide has a protective effect on intestinal epithelial barrier disruption in TAA-induced cirrhotic rats [J]. Exp Therap Med, 2018, 16(3): 1715-1722.
- [24] Yue L, Wang W, Wang Y, et al. *Bletilla striata* polysaccharide inhibits angiotensin II-induced ROS and inflammation via NOX4 and TLR2 pathways [J]. Int J Biol Macromol, 2016, 89: 376-388.
- [25] Guo Q, Jin Y, Chen X, et al. NF- κB in biology and targeted therapy: New insights and translational implications [J]. Signal Transd Targ Ther, 2024, 9(1): 1-37.
- [26] Stark G R, Darnell J E. The JAK-STAT pathway at twenty [J]. Immunity, 2012, 36(4): 503-514.

[责任编辑 兰新新]